

Techniques numériques en radioastronomie

Dr. Rodolphe Weber



Dr. R. Weber - Ecole de Goutelas - juin 2007

1

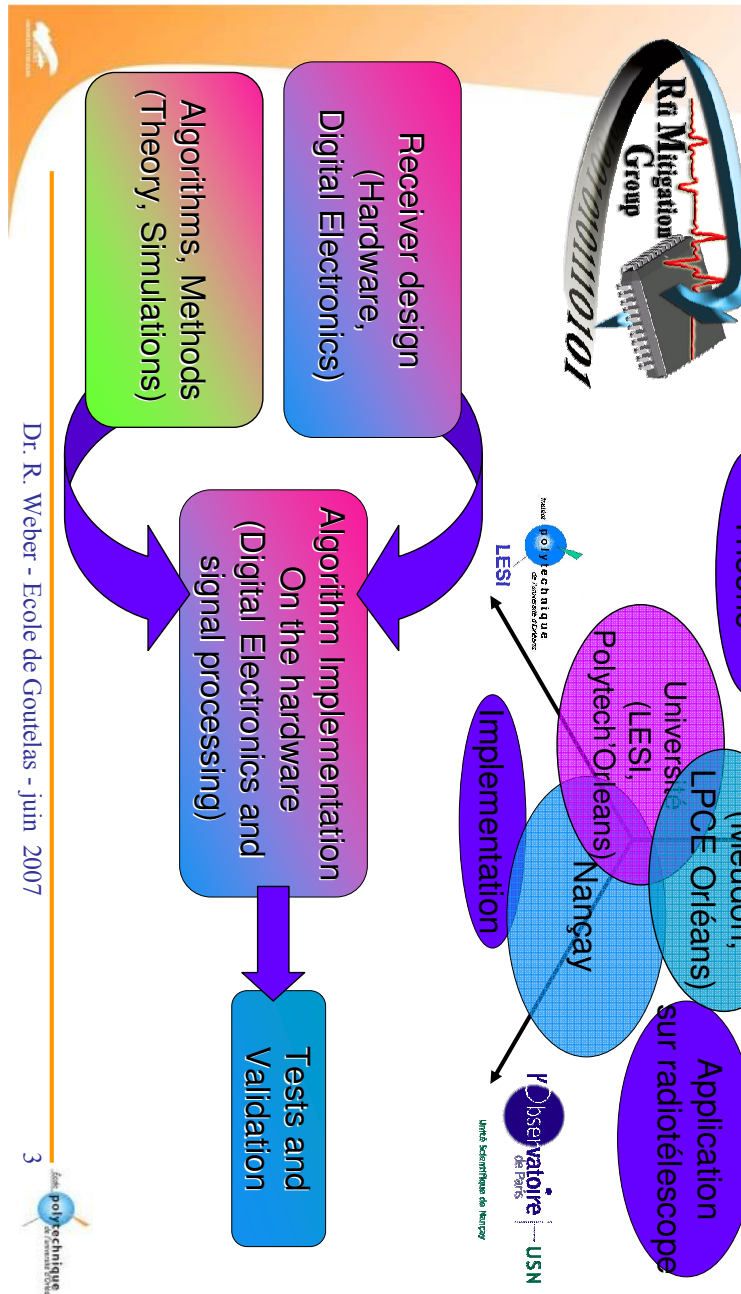
Polytech' Orléans

PART A : Techniques de lutte contre les interférences radioélectriques (RFI mitigation)

1. RFI Mitigation Group
2. Signal utile/RFI
3. RFI/méthodes
4. Méthodes/c算ulateur

RFI Mitigation Group

CNRS
CENTRE NATIONAL
DE LA RECHERCHE
SCIENTIFIQUE



Le signal utile

Domaine radio :
3 kHz à 300 GHz

Onde
électromagnétique



Radiotélescope décimétrique de Nançay (1 – 3 GHz)



Signal observé :

$$s(t) = u_{sys}(t) + u_{source}(t)$$

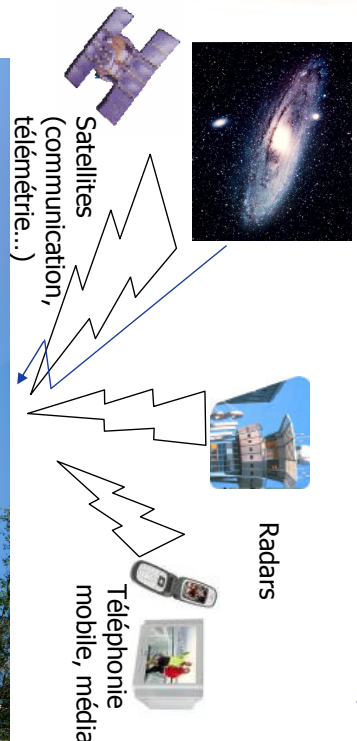
(Localement)
Stationnaire

Astrophysique

Technique

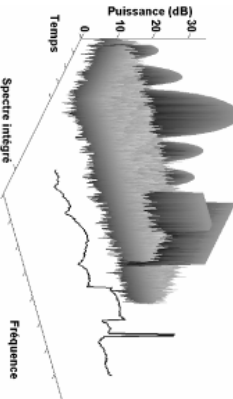
Surveillance

L'interférence (RFI)



Signal observé :

$$s(t) = u_{\text{sys}}(t) + u_{\text{source}}(t) + rfi(t)$$
$$= u(t) + rfi(t)$$

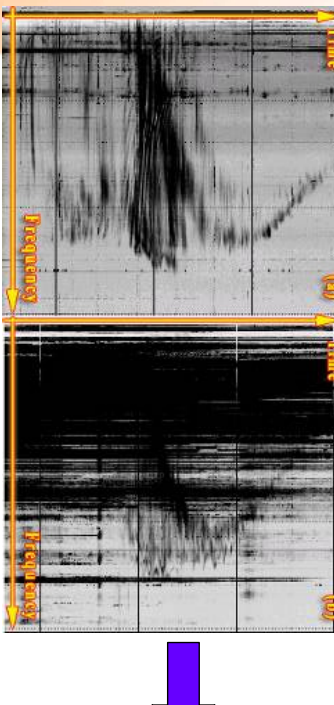


Dr. R. Weber - Ecole de Goutelas - juin 2007



En bande décamétrique

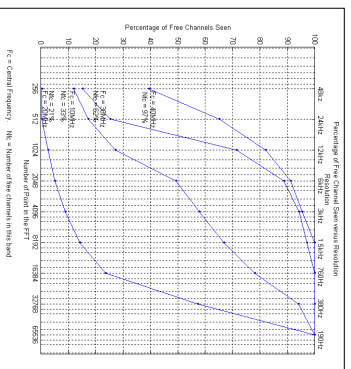
Spectre dynamique acquis au réseau décamétrique de Nançay (10 MHz – 40 MHz)



- bandes très encombrées
- brouilleurs puissants
- effets ionosphériques
- le bruit du ciel élevé
- sources fortes et non statio.



Pourcentage des canaux disponibles en fonction de la résolution fréquentielle (thèse Vincent Clerc 2003)



Un taux de disponibilité de 90% nécessiterait dans la bande :

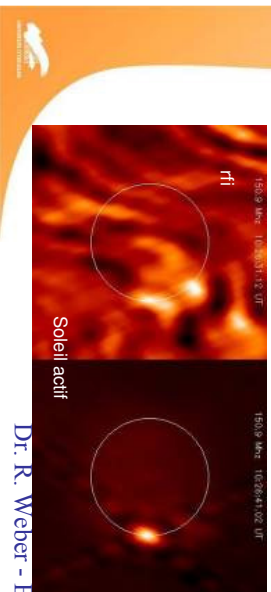
- 35-45 MHz, une résolution de 6.25 kHz.
- 25-35 MHz, une résolution de 1.6 kHz.
- 15-25 MHz, une résolution de 190 Hz.
- 5-15 MHz, une résolution de 6.25 kHz.

En bande métrique

Spectre dynamique acquis avec l'antenne de surveillance de Nançay (NSA)



- source forte et non stat. (Soleil)
- brouilleurs puissants TV ($> 80\text{dB}/\text{soleil}$)
- brouilleurs moyens
- <40dB / soleil
- plutôt $< 300\text{MHz}$
- largeur : 5-20 kHz
- difficulté de trouver des bandes de 1MHz propres

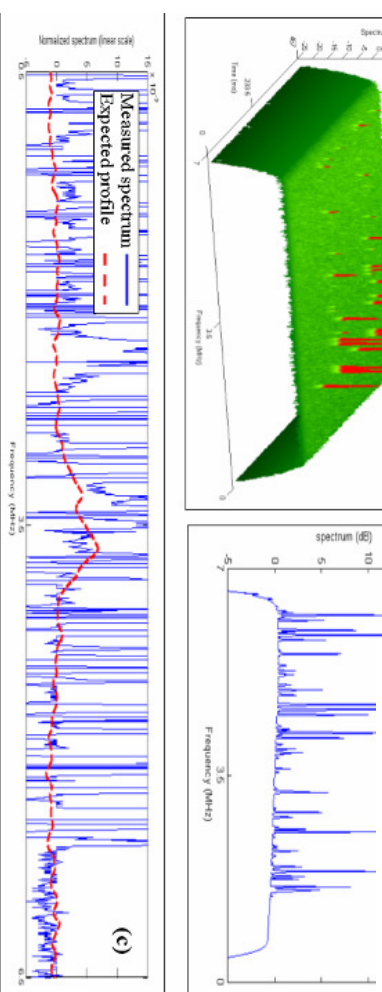


Dr. R. Weber - Ecole de Goutelas - juin 2007



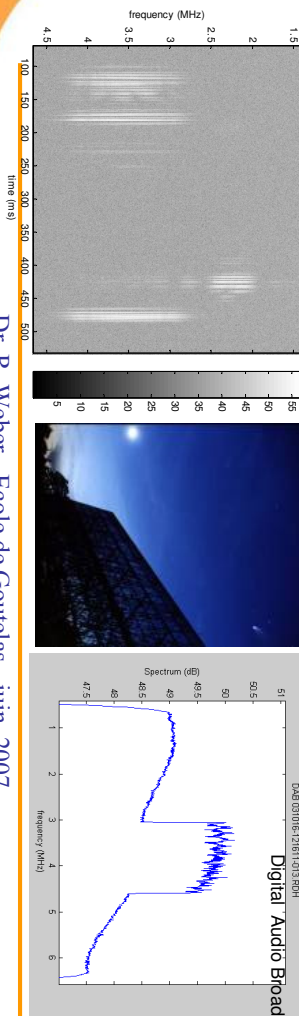
En bande décimétrique

- source faible et stat.
- brouilleurs entrant par les lobes secondaires



RADAR

Digital Audio Broadcast



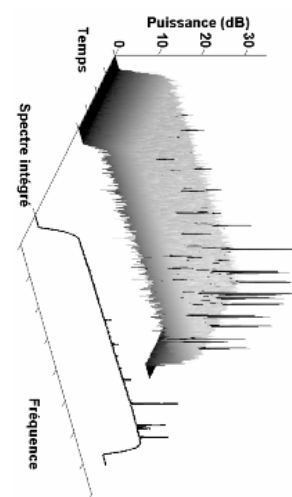
Dr. R. Weber - Ecole de Goutelas - juin 2007



Le couple (RFI, méthode)

- Les différentes classes de méthode

- Interférences intermittentes
 - Détection
 - *Blanking*



- Interférences continues

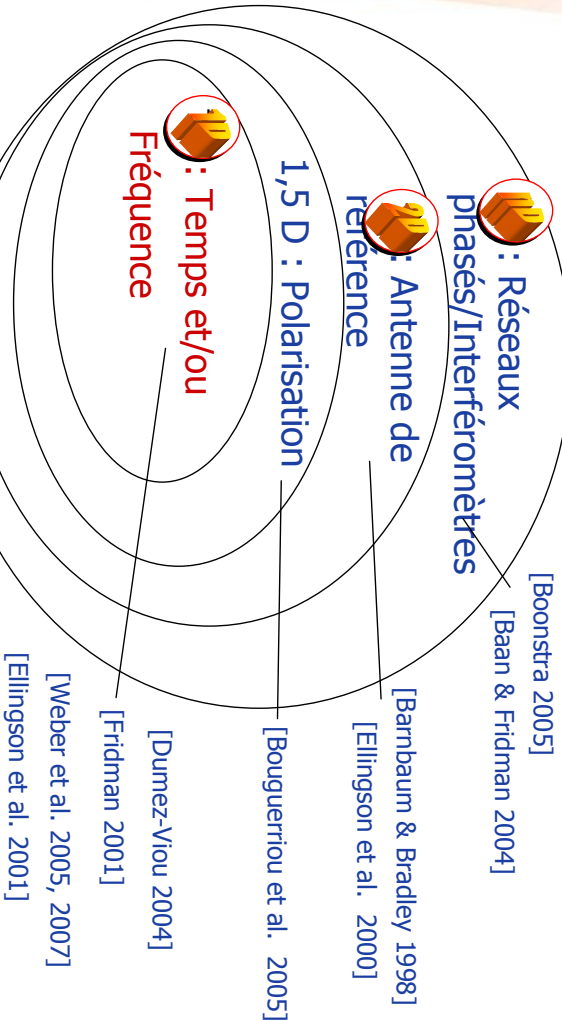
- Réduction/Annulation
- Estimation

- Protection juridique

Dr. R. Weber - Ecole de Goutelas - juin 2007

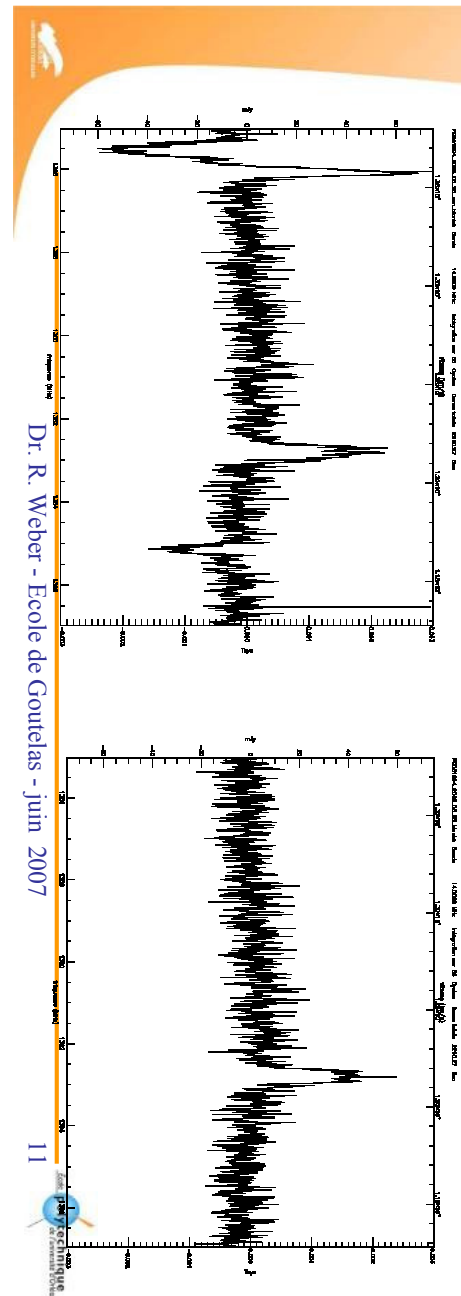
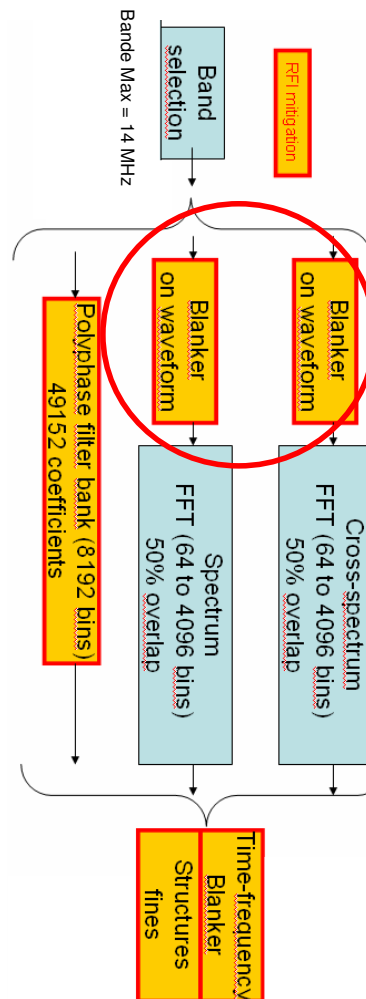
Hiérarchisation des méthodes

- Quelles propriétés peut-on utiliser pour différencier le signal utile du brouilleur radio électrique ?



Détecteur temporel

•Le Blanking temps réel en puissance (Thèse C. Dumez-viou)

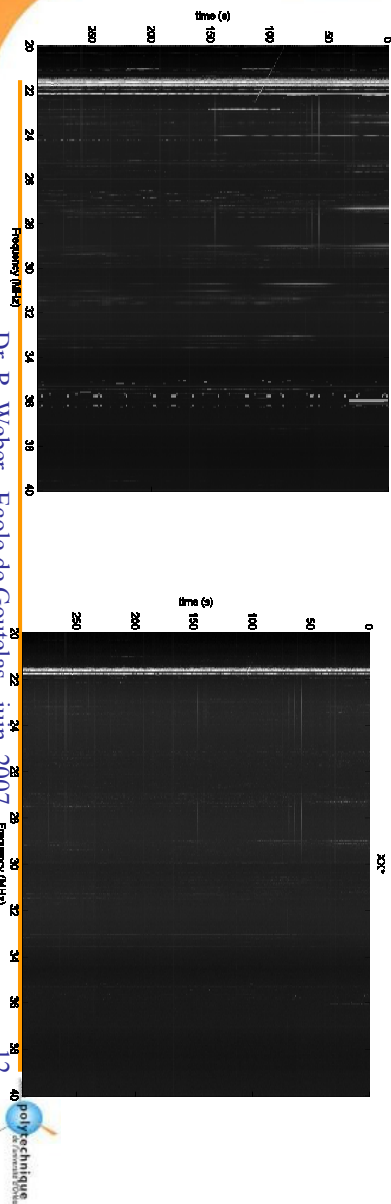
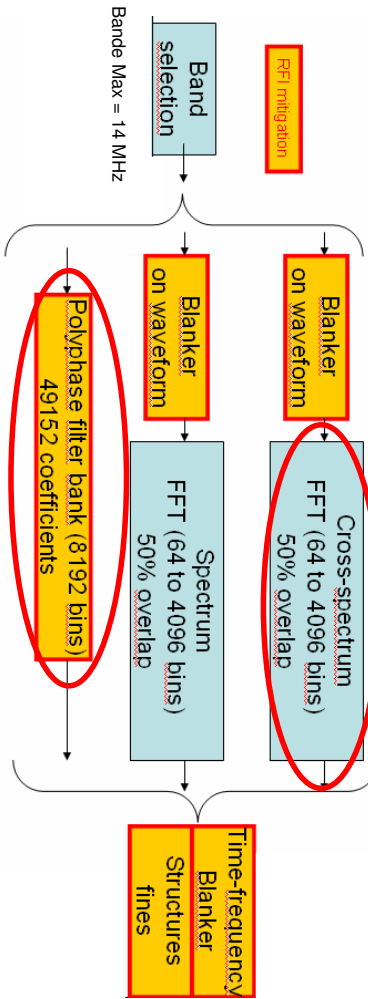


Dr. R. Weber - Ecole de Goutelas - juin 2007

11

Détecteur fréquentiel

•Le Blanking temps réel en puissance (Thèse C. Dumez-viou)



DAM : modulations diverses

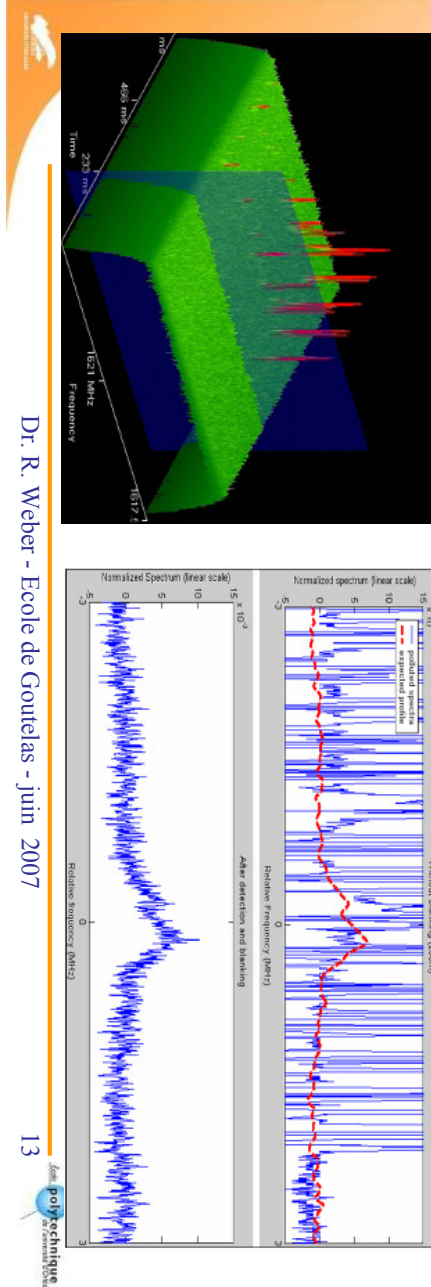
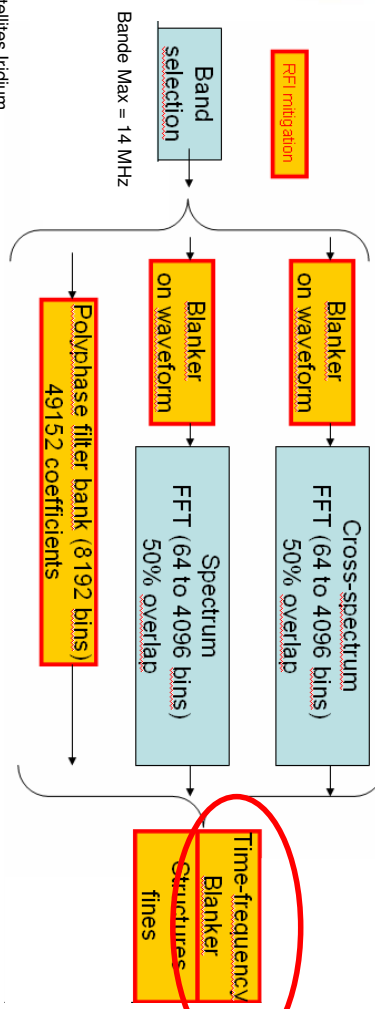
Dr. R. Weber - Ecole de Goutelas - juin 2007

12



Détecteur T-F

•Le Blanking temps réel en puissance (Thèse C. Dumez-viou)



Dr. R. Weber - Ecole de Goutelas - juin 2007

13

Quel critère pour le détecteur ?



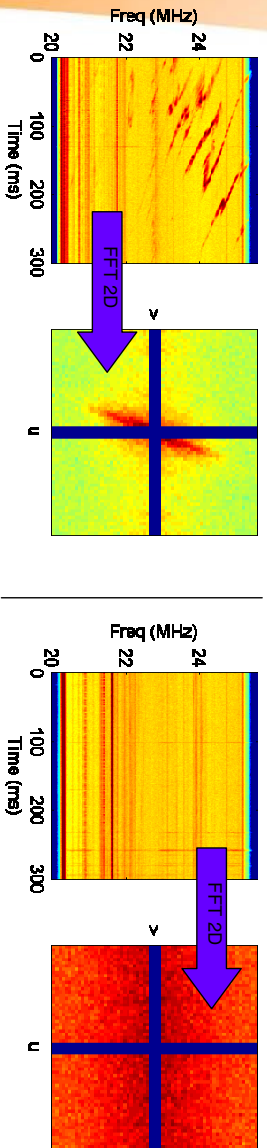
•Le critère de puissance (Thèse C. Dumez-viou)

- Simple à mettre en œuvre
- problème du choix du seuil (calibration, non-stationnarité...)

$$threshold = 2 \frac{\hat{\mu} \chi^2(v)}{v} P^{-1} \left(\frac{v}{2}, 1 - \alpha \right)$$

Méthode d'estimation robuste qui dépend du contexte RFI

•Exemple d'un critère cyclostationnaire T-F (Thèse C. Dumez-viou)



•Exemple d'un critère cyclostationnaire (Thèse S. Brettei)

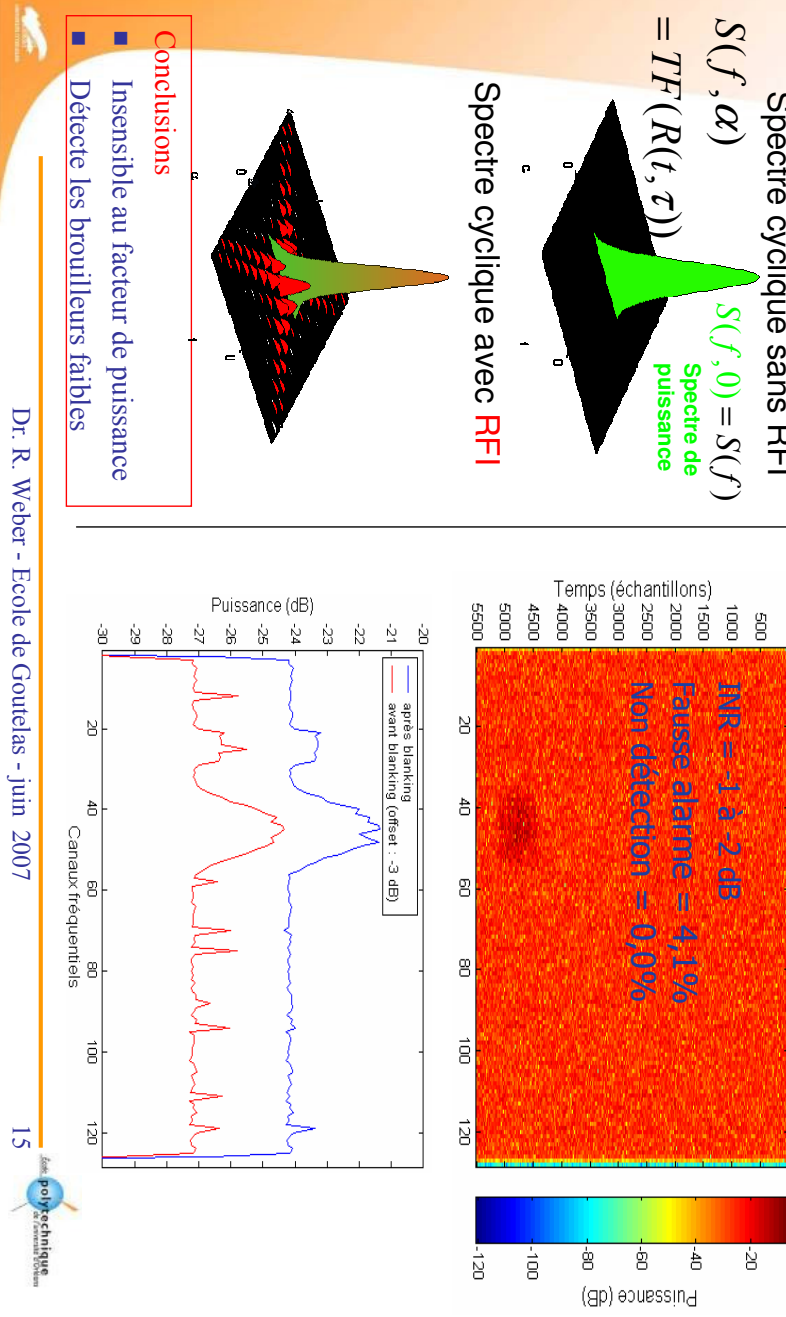
Hyp: RFI possède une fonction d'autocorrélation périodique

$$R_{rfi}(t+T, \tau) = R_{rfi}(t, \tau)$$

Détecteur cyclostationnaire

• Blanking par détecteur cyclostationnaire (Thèse S.Bretteil)

Exemple :



Traitement de RFI continues

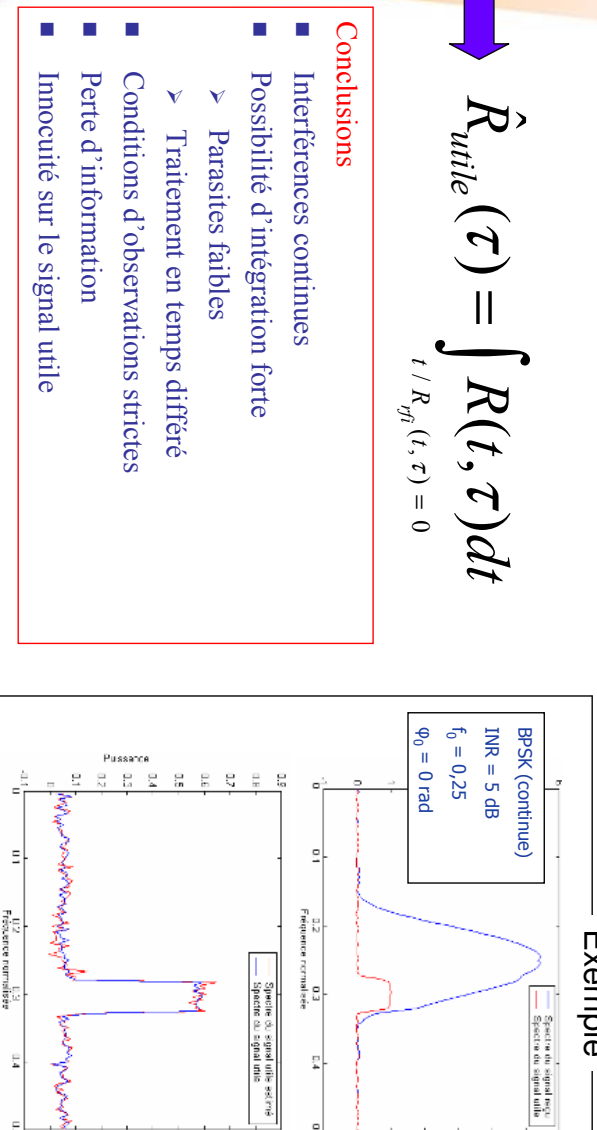


• Annulation par méthode cyclostationnaire (Thèse S.Bretteil)

$$R(t, \tau) = R_{utile}(\tau) + R_{rfi}(t, \tau)$$

pour certains couples (t, τ)

— Exemple —



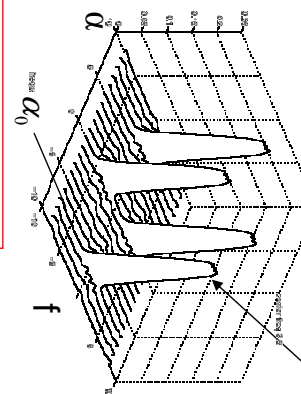
Estimation de RFI

• Estimation par méthode cyclostationnaire (Thèse S.Bretteil)

$$\hat{S}_{\text{utile}}(f) = S(f) - \hat{S}_{\text{rfi}}(f)$$

$$\hat{S}_{\text{rfi}}(f) \approx S(f, \alpha_0)$$

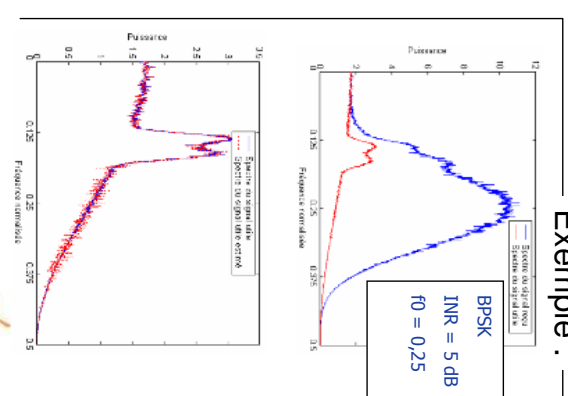
Redondance d'information
dans le spectre cyclique :



Exemple : —

- Conclusions**
- Interférences continues
 - Possibilité d'intégration forte
 - Parasites faibles
 - Traitement en temps différé
 - Résultats encourageants
 - Conditions d'observations moins strictes
 - Dégradation de la sensibilité de la mesure

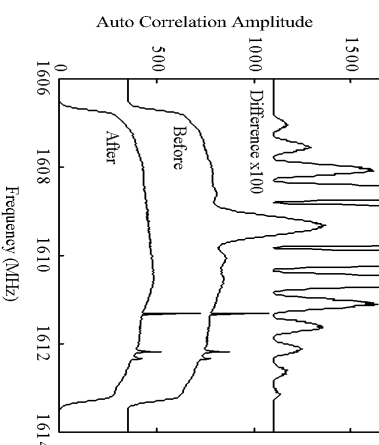
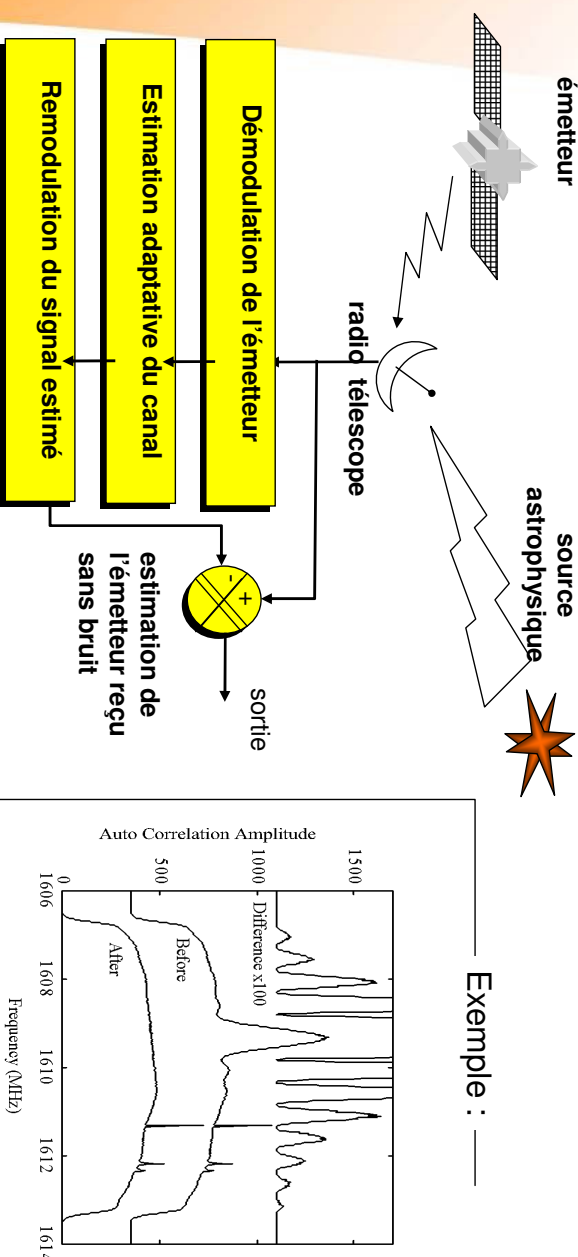
Dr. R. Weber - Ecole de Goutelas - juin 2007



Estimation par démodulation



Exemple : —



Ellingson S.W., Bunton J.D., Bell J.F., "Removal of the GLONASS C/A signal from OH spectral line observations using a parametric modelling technique", *Astrophysical Journal Supplement*, Vol. 135, No. 1, Juillet 2001, 87-93.

Utilisation d'une antenne de référence

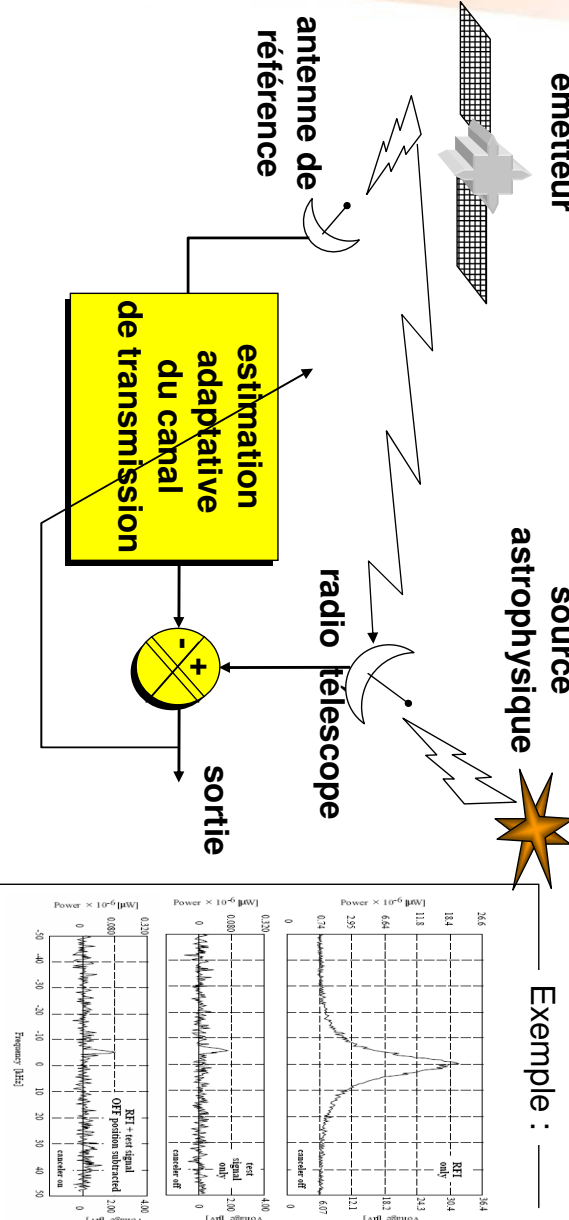


référence

émetteur

source astrophysique

Exemple :



Barnbaum C., Bradley R.F., "A new approach to interference excision in radio astronomy: real-time adaptive cancellation", *The Astronomical Journal*, 115, Novembre 1998, 2598-2614.

Dr. R. Weber - Ecole de Goutelas - juin 2007

19

Réseaux phasés

Antenne isotropique

Far field

Near field

A_{N-1}

τ_{N-1}

$\tau_k = \frac{kd \sin(\theta)}{c}$

τ_1

d

A_0

$\theta = \theta_1$

Hypothèse bande étroite

$$s(t) \cos(2\pi f_c t + \phi)$$

$$\exp(-j2\pi f_c t)$$

$$C_{N-1}^*$$

$$e_k(t) = s(t - \tau_k) \exp(-j2\pi \frac{kd \sin(\theta)}{\lambda}) + b_k(t)$$

$$C_1^*$$

$$e_1(t) = \left[\begin{matrix} c_0^* & c_1^* & c_{N-1}^* \end{matrix} \right] \cdot \left[\begin{matrix} e_0(t) \\ e_1(t) \\ \vdots \\ e_{N-1}(t) \end{matrix} \right] = C^H E(t) = \sum_{k=0}^{N-1} c_k^* e_k(t)$$

$$C_0^*$$

$$e(t) = s(t) \exp(j\phi) + b(t)$$

Lowpass Filter

$$b(t)$$

$$e(t) = s(t) \exp(j\phi) + b(t)$$

Beamforming et nulling

• Utilisation d'une fenêtre de pondération

• Annulation dans les directions des RFI

1) Définir un critère d'optimisation :

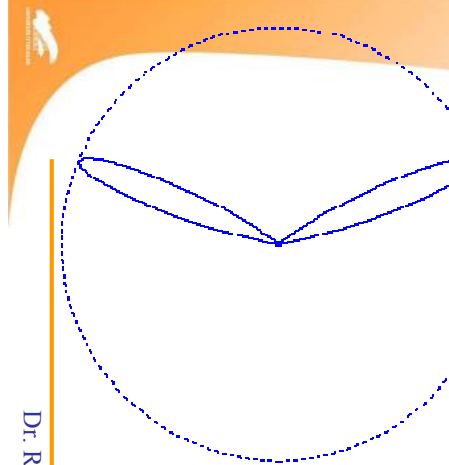
Exemple:

$$\begin{bmatrix} c_0 \\ c_1 \\ \vdots \\ c_{N-1} \end{bmatrix} = \frac{1}{N} \begin{bmatrix} 1 \\ \exp(-j2\pi \frac{d \sin(\theta)}{\lambda}) \\ \vdots \\ \exp(-j2\pi(N-1) \frac{d \sin(\theta)}{\lambda}) \end{bmatrix} * \begin{bmatrix} h_0 \\ h_1 \\ \vdots \\ h_{N-1} \end{bmatrix}$$

$$A(\theta_1)$$



16 antennes , steering angle 22.5°, windowing=hamming



Dr. R. Weber - Ecole de Goutelas - juin 2007

21



$$P = \left\langle \|\mathbf{y}(t)\|^2 \right\rangle = \mathbf{C}^H \underbrace{\left\langle \mathbf{E} \mathbf{E}^H \right\rangle}_{\mathbf{R} \text{ matrice de cov.}} \mathbf{C}$$

$$\begin{aligned} \text{Critère de Capon : } & \min_C C^H R C \text{ avec } C^H A(\theta_1) = 1 \\ \text{Solution : } & C = \frac{R^{-1} A(\theta_1)}{A^H(\theta_1) R^{-1} A(\theta_1)} \end{aligned}$$

2) Méthodes haute résolution :

La diagonalisation de \mathbf{R} permet de séparer l'espace signal de l'espace bruit

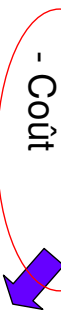
Conclusions

Beaucoup de solutions ou de pistes potentielles

Mais

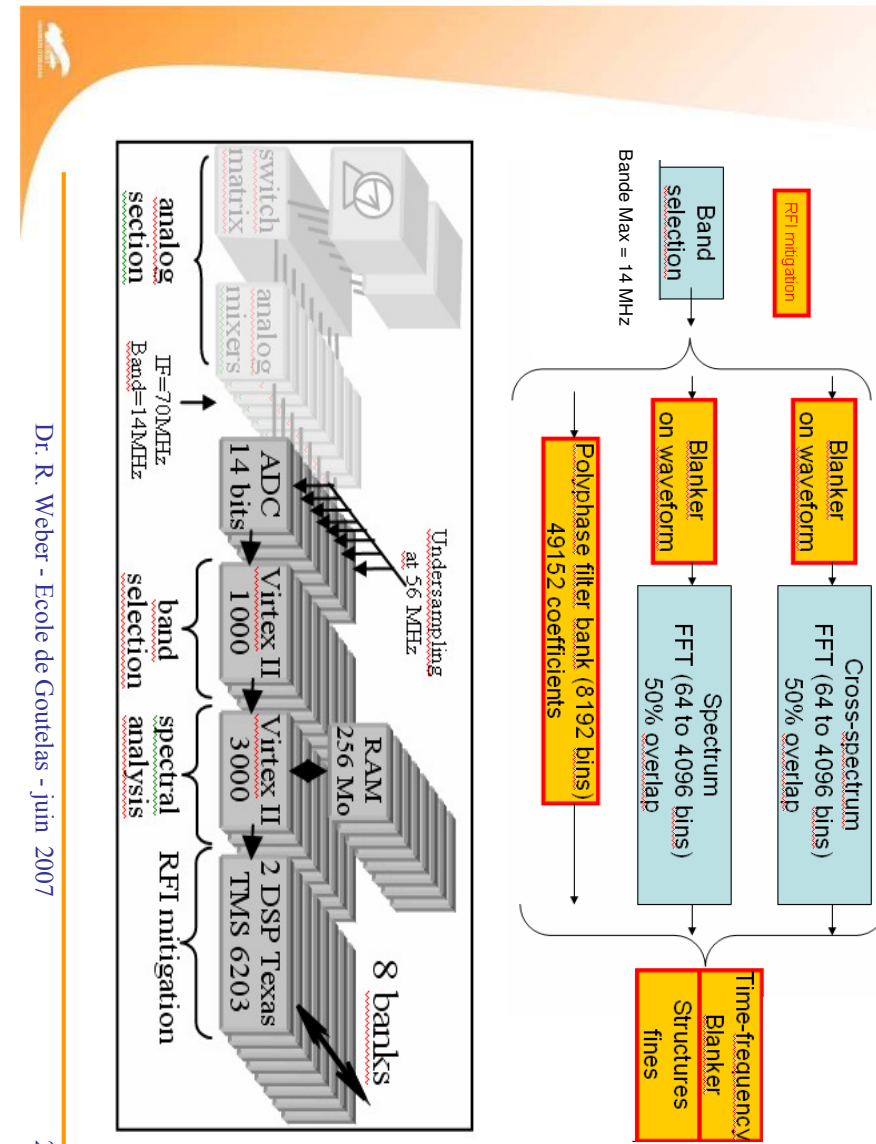
Nécessité de faire des choix stratégiques:

- Efficacité
- Innocuité
- Complexité
- Coût



- Adéquation algorithme architecture
- Virgule fixe, Virgule Flottante ?
- Pré-intégré dans le Hardware ou reconfigurable (boîte à outils) ?
- A quel niveau dans le radiotélescope ?
- Cluster PC ou Composants programmables ?
-

Exemples de stratégie (Nançay)

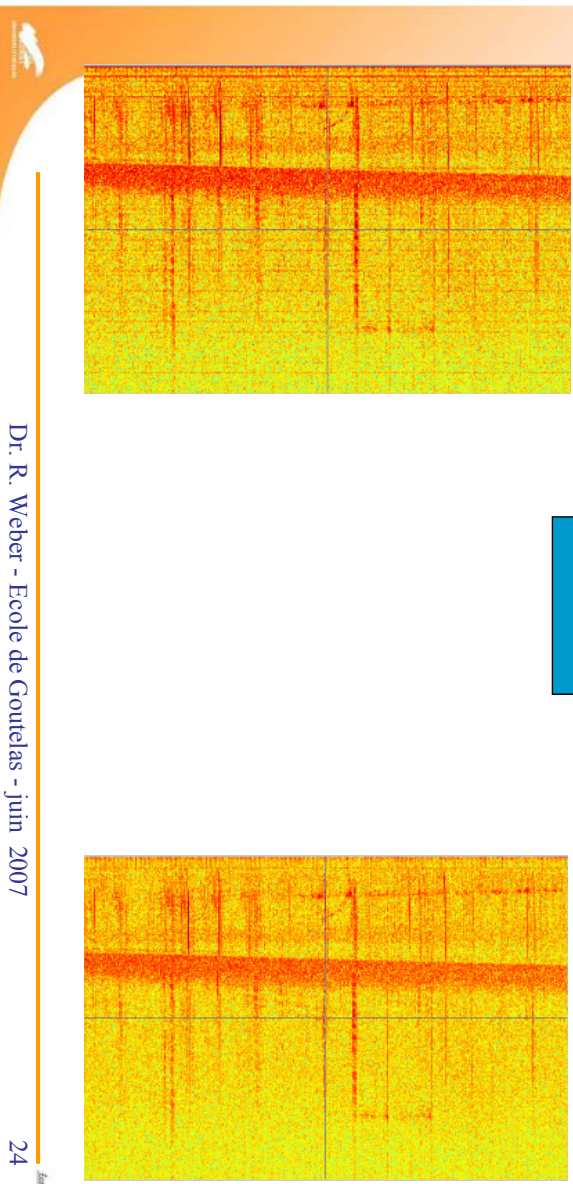
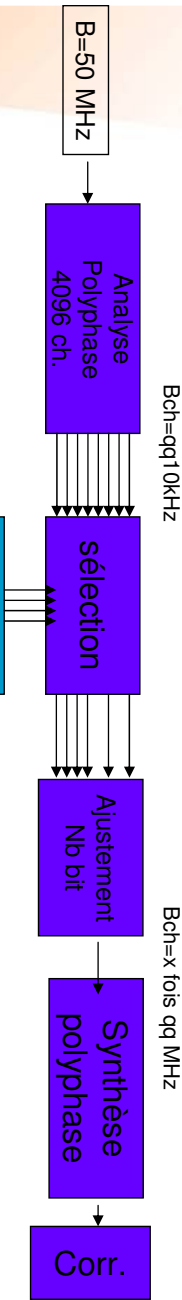


Dr. R. Weber - Ecole de Goutelas - juin 2007

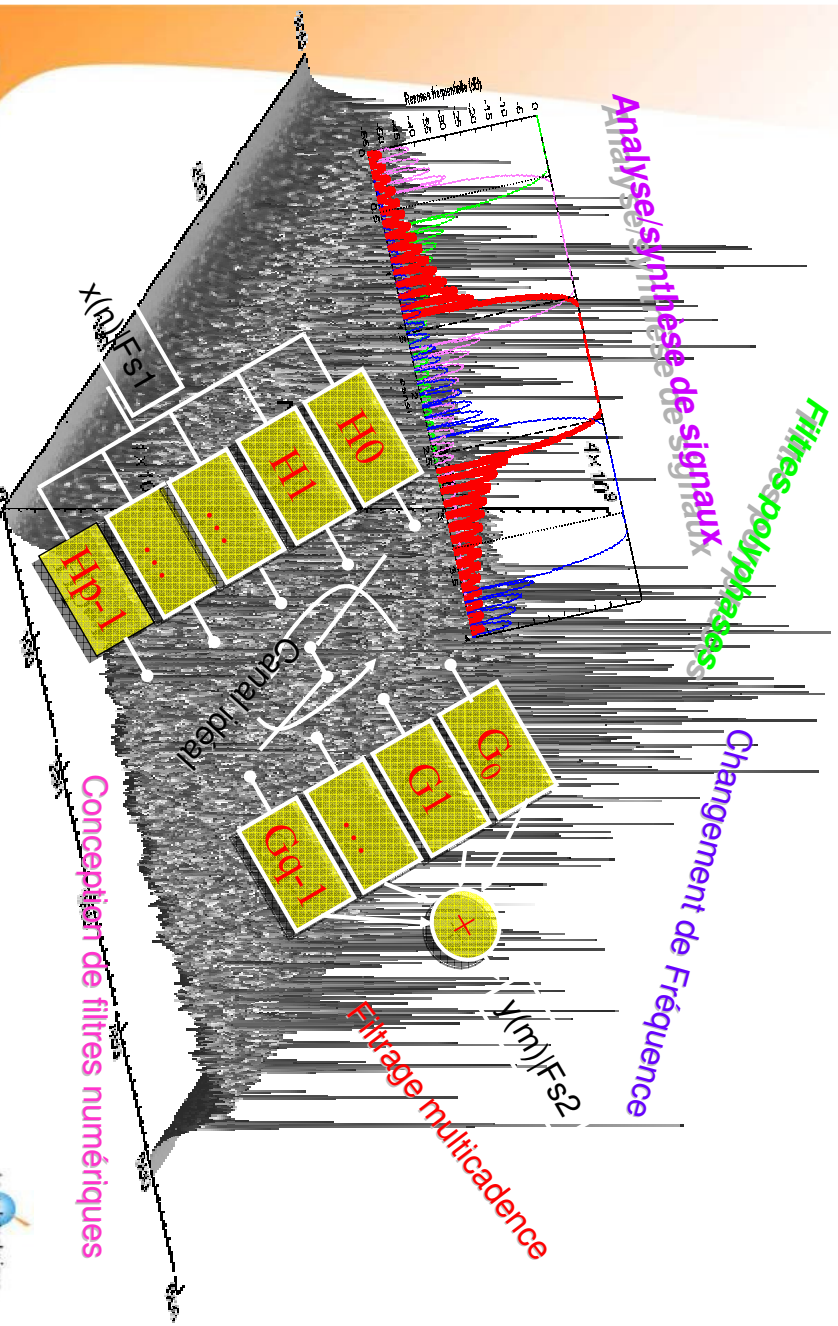
23



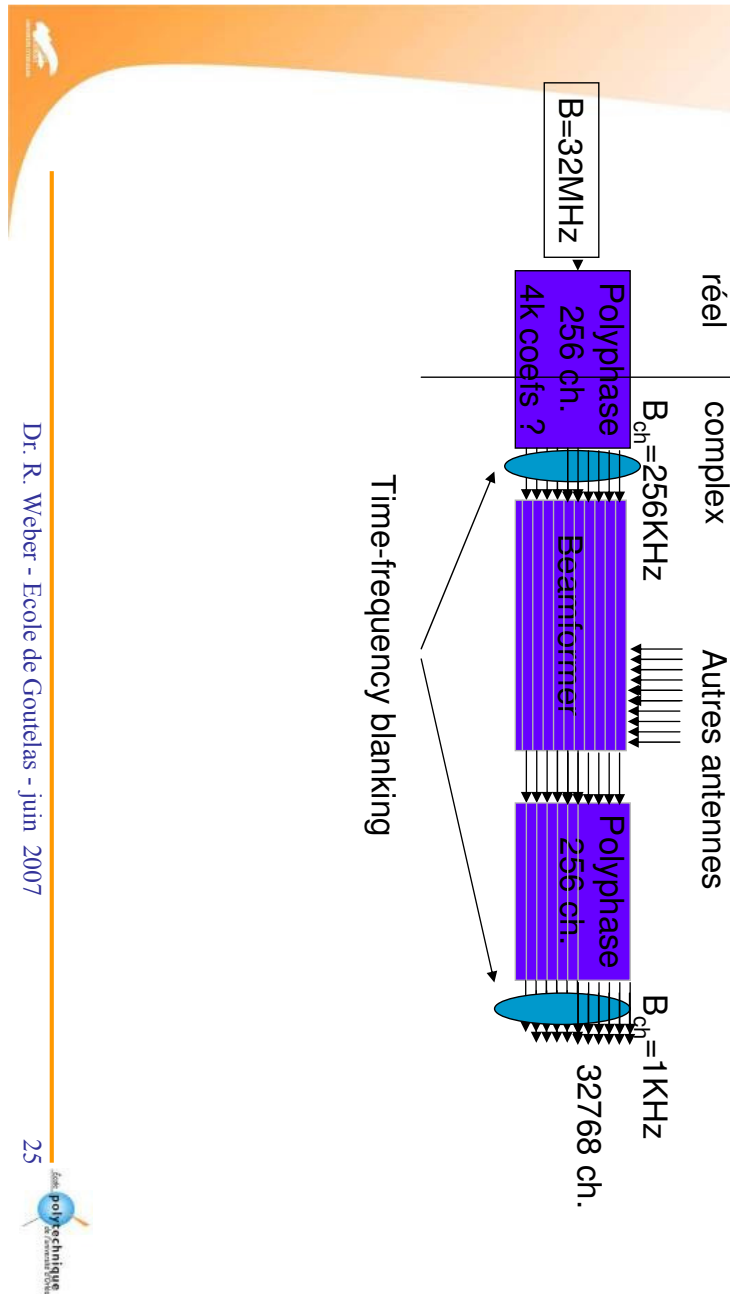
Exemples de stratégie (FASR)



Exemples de stratégie (LOFAR)



Un point commun



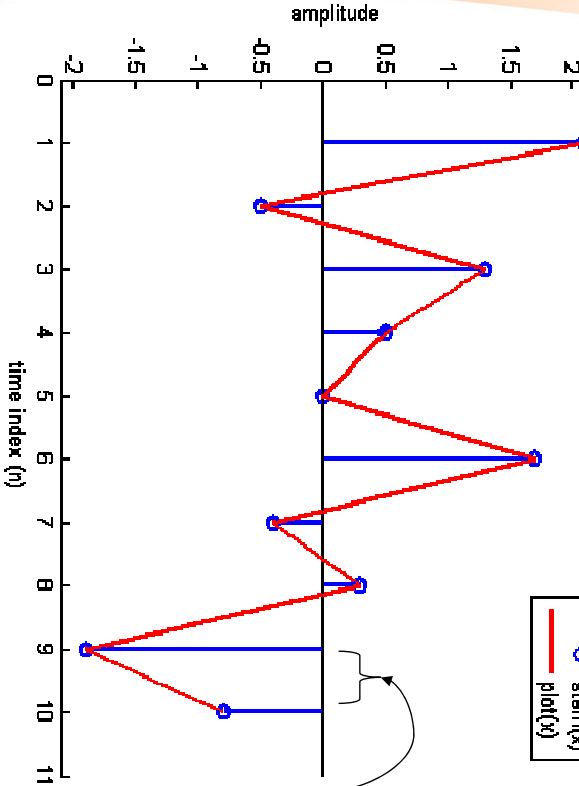
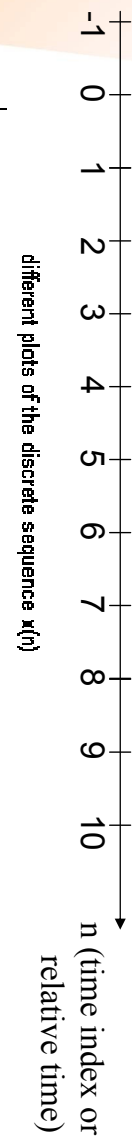
PART B: Filtrage multicadence

1. Description temporel et fréquentiel d'un signal numérique
2. Rappels sur les filtres numériques
3. Filtrage polyphase
4. Filtrage multicadence

PART B.1: Description temporel et fréquentiel d'un signal numérique

Temporal Description

$x = [2.1 \ -0.5 \ 1.3 \ 0.5 \ 0 \ 1.7 \ -0.4 \ 0.3 \ -1.9 \ -0.8]$



Dr. R. Weber- Ecole de Goutelas - juin 2007

29

Ecole polytechnique

Theoretical spectral description

◆ The answer : the Fourier Transform



$$C_f = FT(x) = X(f)$$

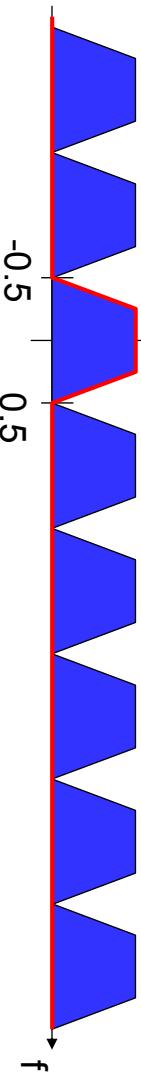
$$FT(x) = X(f) = \sum_{n=-\infty}^{+\infty} x(n)e^{-2j\pi fn}, \quad f \in \mathbb{R}$$

◆ Remarks :

$$X(f+I) = X(f)$$

- periodicity of the spectrum
- f can be limited to $[0, 0.5]$ for real signal (spectrum symmetry)
- f can be limited to $[-0.5, 0.5]$ or $[0, 1]$ for complex signal

$\rightarrow X(f)$



Basic spectral properties

♦ Pure delay :

$$y(n) = x(n - \tau)$$

$$Y(f) = X(f)e^{-j2\pi f\tau}$$

♦ Modulation or frequency shift:

$$y(n) = x(n)e^{-2j\pi f_o n}$$

$$= x(n)(\cos(2\pi f_o n) - j \sin(2\pi f_o n))$$

$$Y(f) = X(f + f_o)$$

Digital Down
Conversion

♦ Product and Convolution:

$$y(n) = x(n)h(n)$$

$$Y(f) = (X @ H)(f) \triangleq \int_0^1 X(v)H(f-v)dv$$

$$y(n) = (x @ h)(n) = \sum_{k=-\infty}^{+\infty} x(k)h(n-k) \quad Y(f) = X(f)H(f)$$

♦ Parseval relation :

$$\text{Energy} = \sum_{n=-\infty}^{+\infty} |x(n)|^2 = \int_0^1 |X(f)|^2 df$$



Dr. R. Weber- Ecole de Goutelas - juin 2007

31

Ecole polytechnique

Practical spectral description (1)

♦ Theoretical Formulation :

$$TF(x) = X(f) = \sum_{n=-\infty}^{+\infty} x(n)e^{-2j\pi ft}, \quad f \in \mathbb{R}$$

No digital implementation possible

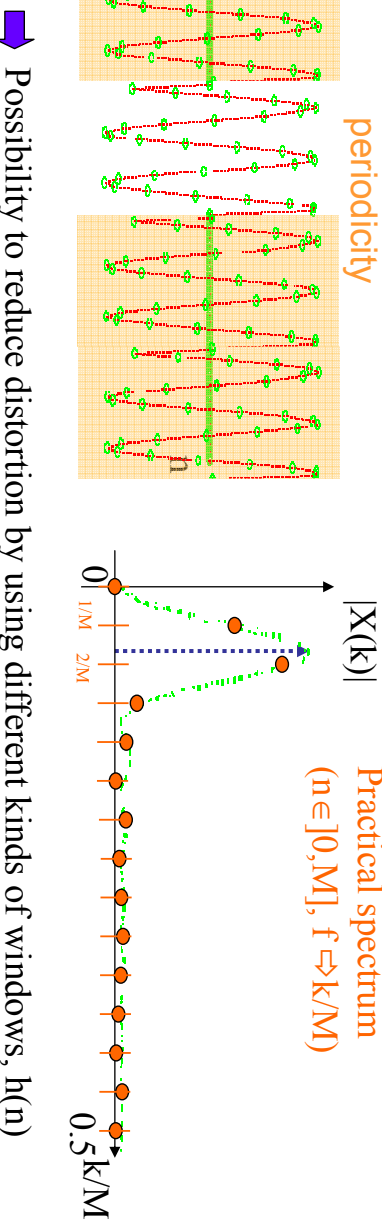
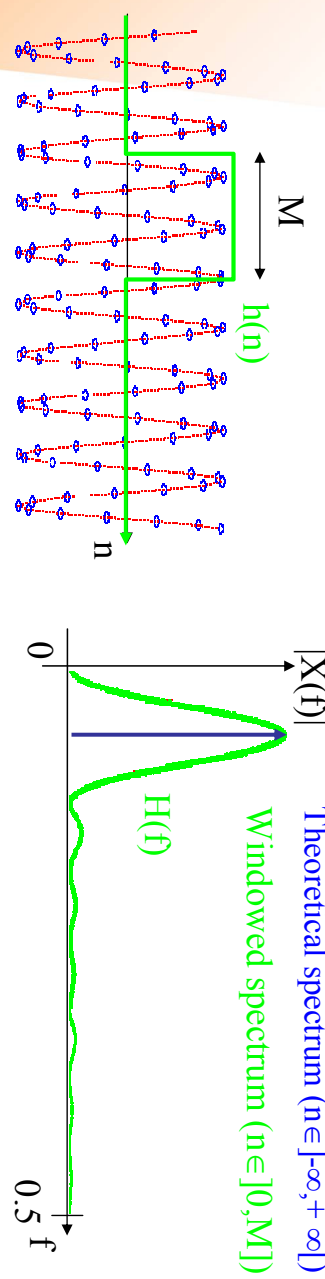
♦ Approximations : The Discrete Fourier Transform

$$\Leftrightarrow \begin{cases} 1. \quad n \in [0, M-1] \\ 2. \quad \text{Only } f/f = k/M \end{cases}$$

$$DFT(x) = X(k) \triangleq \sum_{n=0}^{M-1} x(n)e^{-2j\pi \frac{k}{M}n}, \quad k = 0, \dots, M-1$$

$FFT(x) = DFT(x)$ with M a power of 2

Practical spectral description (2)



➡ Possibility to reduce distortion by using different kinds of windows, $h(n)$

Dr. R. Weber- Ecole de Goutelas - juin 2007

PART B.2: Rappels sur les filtres numériques

Linear Digital filtering

- Formulations : temporal view

$$x(n) \rightarrow \text{Filter} \rightarrow y(n)$$

$$\mathbf{b} = [\mathbf{b}_0 \ \mathbf{b}_1 \dots \mathbf{b}_N]; \quad \mathbf{a} = [1 \ \mathbf{a}_1 \dots \mathbf{a}_D]; \quad \mathbf{y} = \text{filter}(\mathbf{b}, \mathbf{a}, \mathbf{x});$$

$$y(n) \triangleq \sum_{i=0}^N b_i x(n-i) + \left(-\sum_{i=1}^D a_i y(n-i) \right)$$

non recursive part
recursive part

- Basic properties :

$$\begin{aligned} \text{if } xI(n) &\rightarrow \text{Filter} \rightarrow yI(n) \\ \text{if } x2(n) &\rightarrow \text{Filter} \rightarrow y2(n) \end{aligned} \quad \text{then } x(n-T) \rightarrow \text{Filter} \rightarrow y(n-T)$$



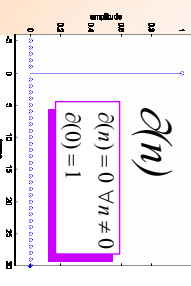
Dr. R. Weber- Ecole de Goutelas - juin 2007



The impulse response

Impulse response

- Formulation :



$$\begin{array}{c} x(n) = \delta(n) \\ \text{Filter} \\ y(n) = h(n) \end{array}$$

$$\mathbf{x} = [1 \text{ zeros}(1, 29)]; \quad \mathbf{h} = \text{filter}(\mathbf{b}, \mathbf{a}, \mathbf{x});$$

- Consequences :

Finite impulse response (FIR)

$$\boxed{\mathbf{1} \quad y(n) = \sum_{i=0}^N b_i x(n-i) \quad \Rightarrow \quad \begin{cases} h(k) = b_k & \text{for } k=0, \dots, N \\ h(k) = 0 & \text{else} \end{cases}}$$

always stable

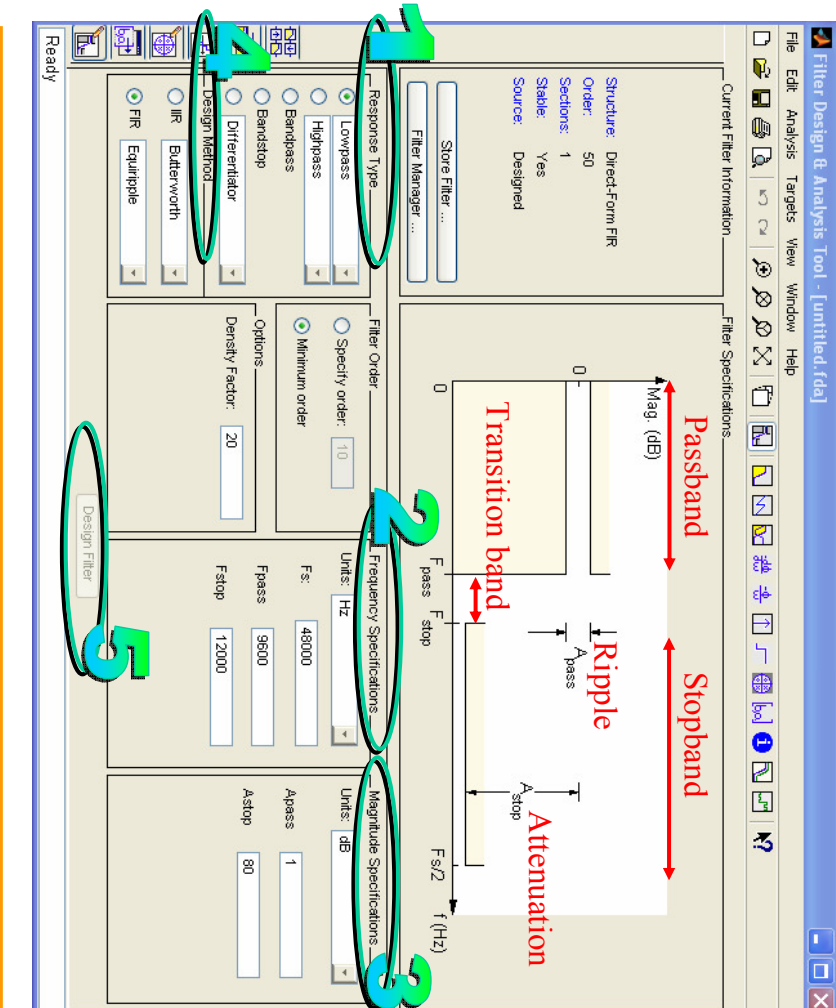
2



Filter with impulse response $\mathbf{h}(n)$

$$\boxed{\mathbf{2} \quad x(n) = \sum_{k=-\infty}^{+\infty} x(k) \delta(n-k) \quad \Rightarrow \quad y(n) = \sum_{k=0}^{+\infty} h(k) x(n-k) \triangleq (h \circledast x)(n)}$$

Filter Specifications(1)

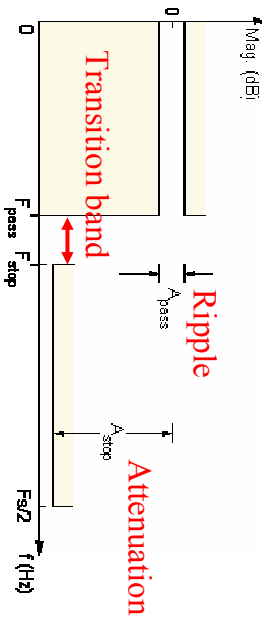


Dr. R. Weber- Ecole de Goutelas - juin 2007

37

Filter Specifications (2)

- ◆ General rules :



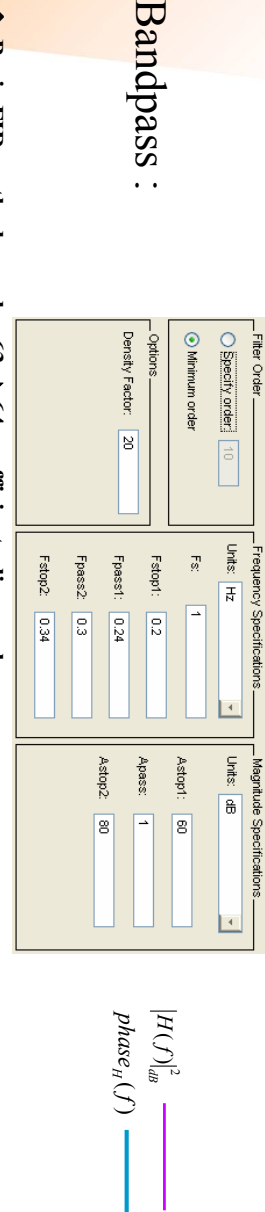
Attenuation ↪ Order or complexity ↪

- If
 - Ripple ↪ Or
 - or
 - Transition Band ↪
- $$y(n) = \sum_{i=0}^N b_i x(n-i) - \sum_{i=1}^D a_i y(n-i)$$

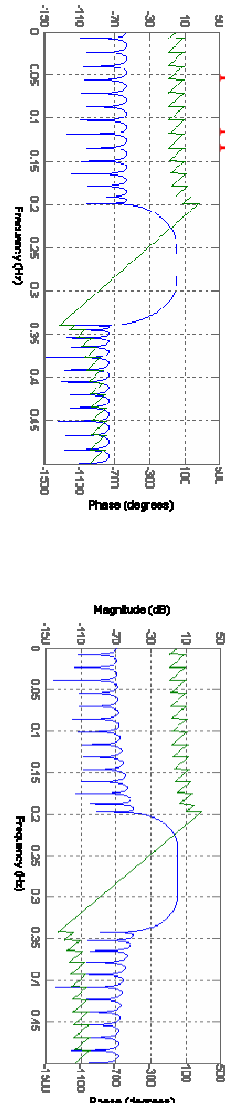
- For a given specification, IIR is always less complex than FIR
But be careful to the stability (and the phase linearity) !

Basic Design Methods

Bandpass :

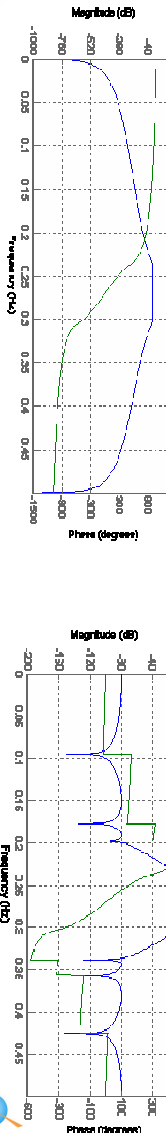


◆ Basic FIR methods : ordre 63 \Rightarrow 64 coefficients, linear phase



◆ Basic IIR methods : order 24 \Rightarrow 50 coefficients

Butterworth



order 12 \Rightarrow 26 coefficients

Cauer or Elliptic



Dr. R. Weber- Ecole de Goutelas - juin 2007

Polytech'Orléans

PART B.3: Filtrage Polyphase

The Z-Transform

◆ Formulation : $F(z) = ZT(f)(z) \triangleq \sum_{n=-\infty}^{+\infty} f(n)z^{-n}, z \in \mathbb{C}$

◆ useful (and simple) properties:

Given $X(z) = ZT(x)$ and $Y(z) = ZT(y)$

- linearity : $ZT(\alpha x(n) + \beta y(n)) = \alpha X(z) + \beta Y(z)$
- **convolution** : $ZT(x @ y)(n) = X(z) Y(z)$
- $ZT(x(n+1)) = z X(z)$; $ZT(x(n+k)) = z^k X(z)$
- $ZT(x(n-1)) = z^{-1} X(z)$; $ZT(x(n-k)) = z^{-k} X(z)$
- $ZT(x)$ for $x = \exp(j2\pi f) = T(F)$

◆ Application to the filtering:

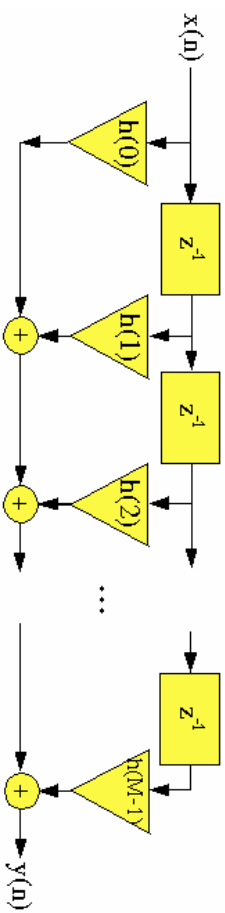
$$(h @ x)(n) = y(n) = \sum_{k=0}^{M-1} h(k)x(n-k) \quad \square \quad ZT(h(n)) = H(z) = \frac{Y(z)}{X(z)} = \sum_{k=0}^{M-1} h(k)z^{-k}$$

Dr. R. Weber- Ecole de Goutelas - juin 2007

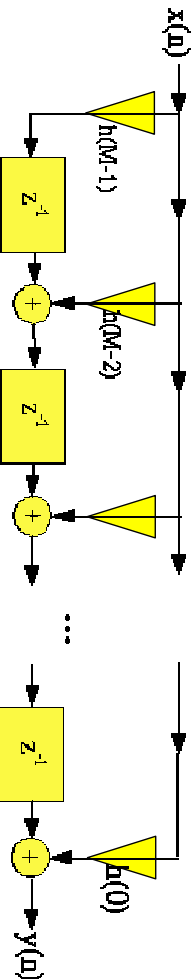
41

Filter structures

$$Y(z) = \sum_{k=0}^{M-1} h(k).z^{-k} X(z) \quad \text{Direct}$$

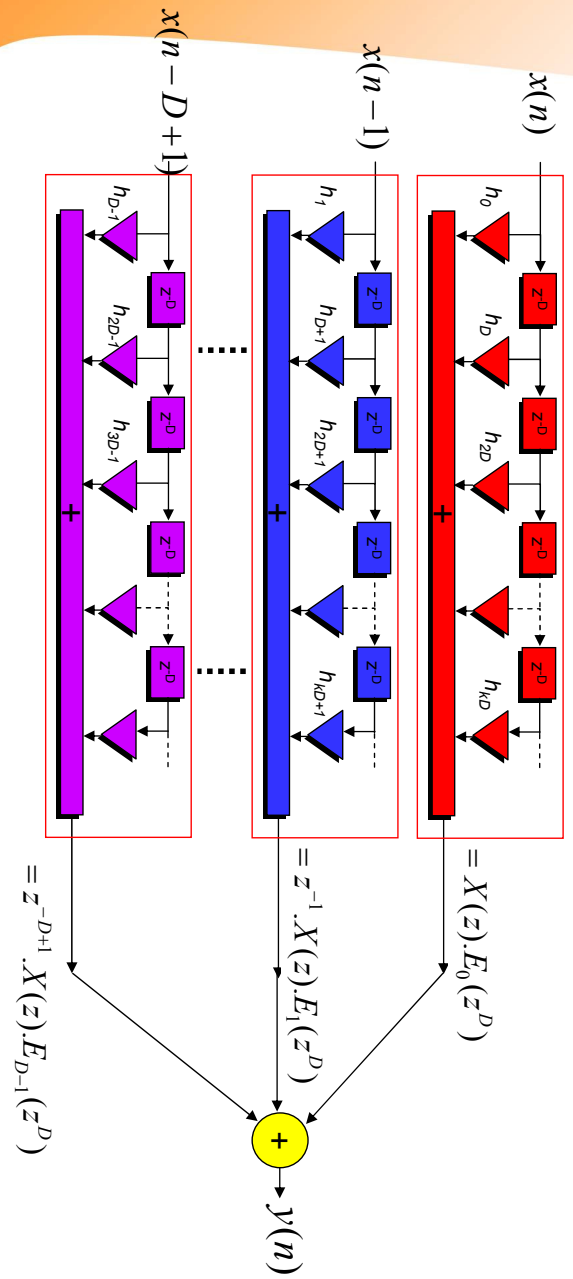


$$Y(z) = \sum_{k=0}^{M-1} (h(k).X(z))z^{-k} \quad \text{Transpose}$$



Polyphase structure (1)

$$\begin{aligned}
 y(n) = \sum_{k=0}^{N_D} h_k x(n-k) = & h_0 x[n] + h_D x[n-D] + h_{2D} x[n-2D] + \dots + h_{xD} x[n-kD] \dots \\
 & + h_1 x[n-1] + h_{D+1} x[n-D-1] + h_{2D+1} x[n-2D-1] + \dots + h_{kD+1} x[n-kD-1] \dots \\
 & \vdots \\
 & + h_{D-1} x[n-D+1] + h_{2D-1} x[n-2D+1] + h_{3D-1} x[n-3D+1] + \dots + h_{(k+1)D-1} x[n-(k+1)D+1] \dots
 \end{aligned}$$

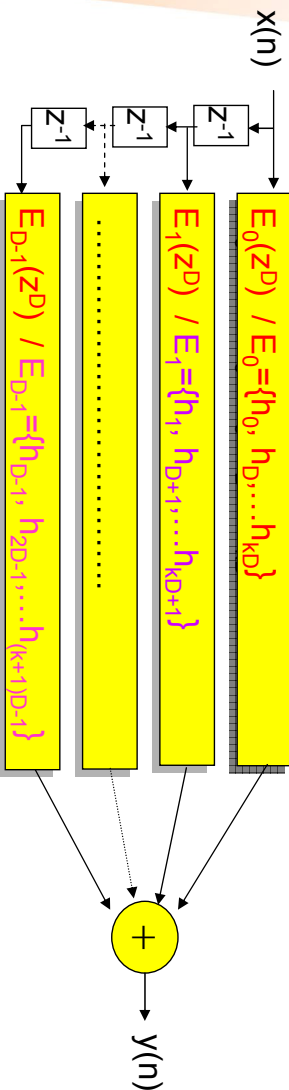


Dr. R. Weber- Ecole de Goutelas - juin 2007

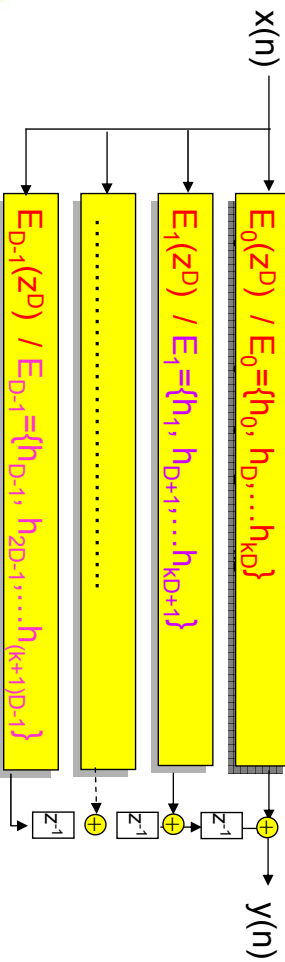


Polyphase structure (2)

$$Y(z) = H(z).X(z) = \sum_{l=0}^{D-1} (z^{-l} X(z)) E_l(z^D)$$

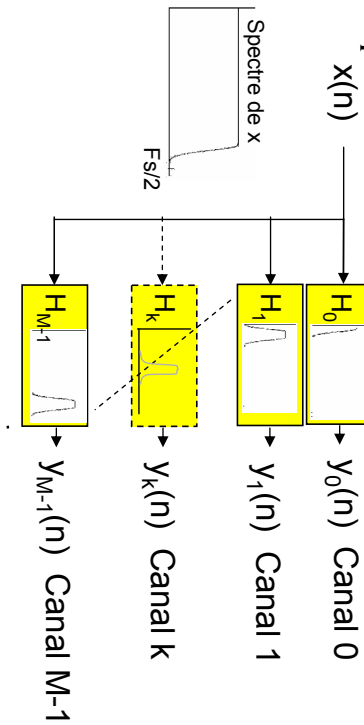


$$Y(z) = H(z).X(z) = \sum_{l=0}^{D-1} (X(z).E_l(z^D)).z^{-l}$$



Filter Bank

- ◆ General description :



◆ The idea : $H_k(f) = H_0(f - \frac{k}{M})$

$$\Rightarrow H_k(z) = H_0(z \cdot e^{-j2\pi \frac{k}{M}})$$

Dr. R. Weber- Ecole de Goutelas - juin 2007

Polyphase filter bank (1)

1) $H_0(z) = \sum_{l=0}^{M-1} z^{-l} \cdot E_l(z^M)$ Polyphase structure

2) $H_k(z) = H_0(z \cdot e^{-j2\pi \frac{k}{M}})$ Frequency translation

$$\downarrow \\ H_k(z) = \sum_{l=0}^{M-1} \left[z e^{-j2\pi \frac{k}{M}} \right]^{-l} \cdot E_l \left(z e^{-j2\pi \frac{k}{M}} \right)^M$$

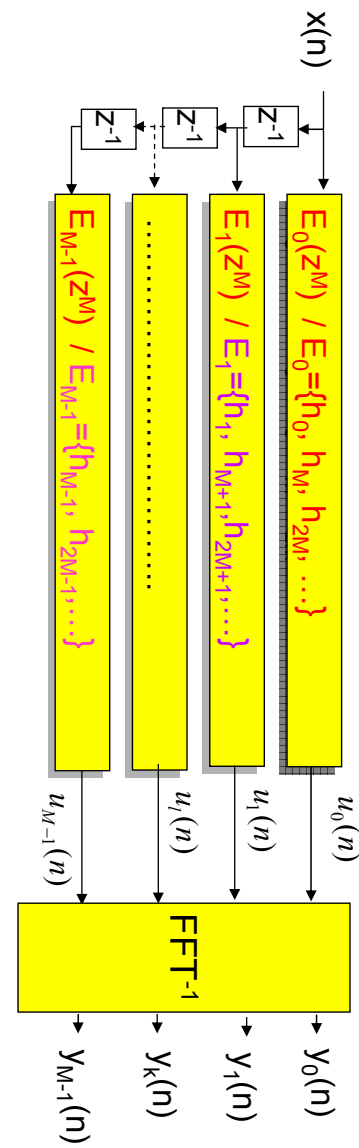
$$H_k(z) = \sum_{l=0}^{M-1} z^{-l} \cdot E_l(z^M) e^{j2\pi \frac{k \cdot l}{M}}$$

$$\downarrow \\ Y_k(z) = X(z) \cdot H_k(z) = \sum_{l=0}^{M-1} \underbrace{z^{-l} \cdot X(z) \cdot E_l(z^M)}_{U_l(z)} e^{j2\pi \frac{k \cdot l}{M}}$$

$$Y_k(z) = \sum_{l=0}^{M-1} U_l(z) e^{j2\pi \frac{k \cdot l}{M}} = FT^{-1}(U_{l=0, \dots, M-1}(z)) \text{ at frequency } \frac{k}{M}$$

Polyphase filter bank

- 1) $U_l(z) = z^{-l} \cdot X(z) \cdot E_l(z^M)$ for $l = 0, \dots, M-1$
- 2) $Y_k(z) = FT^{-1}(U_{l=0, \dots, M-1}(z))$ at frequency $\frac{k}{M}$



Dr. R. Weber- Ecole de Goutelas - juin 2007

47

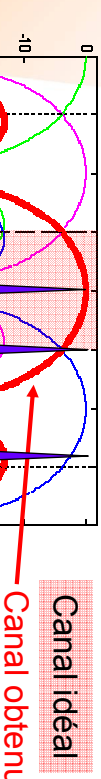


École polytechnique fédérale de Lausanne

Exemple 1

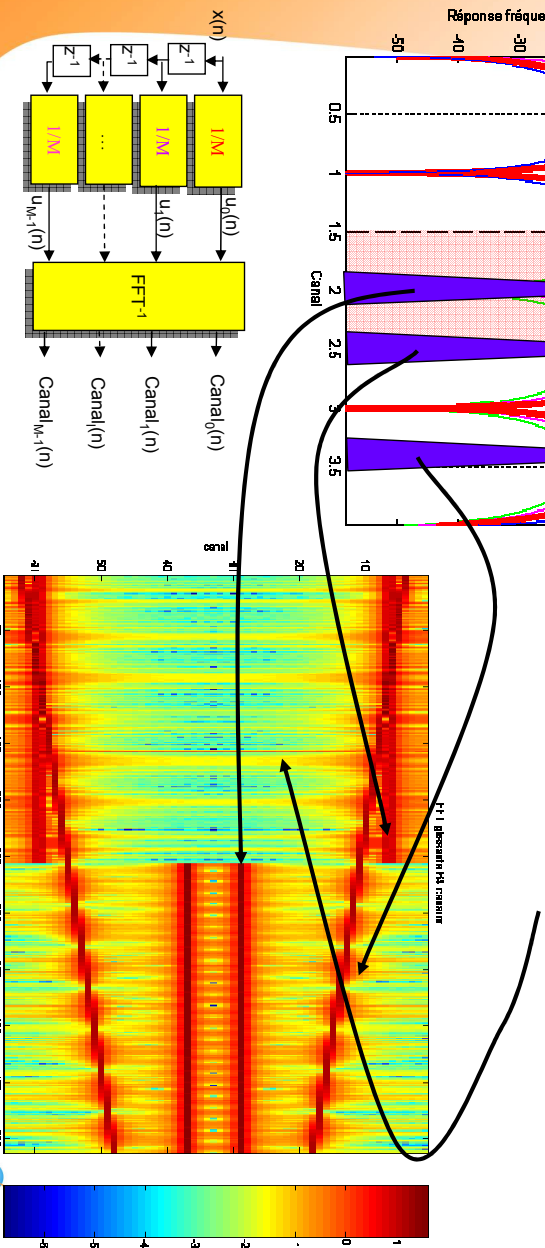
$M=64$, $H=\text{fenêtre rectangulaire de taille } M \Rightarrow E_l=\{1/M\}, l=0, \dots, M-1$

Banc de filtre = FFT



Canal idéal
Canal obtenu

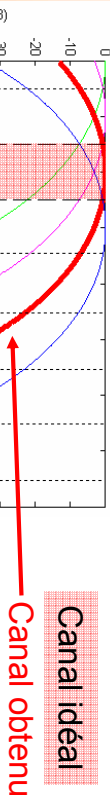
Bonne précision sur l'impulsion



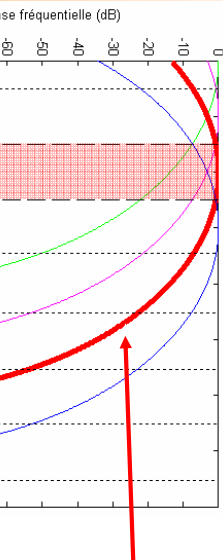
Exemple 2

$M=64$, $H=fenêtre Blackmanharris de taille M$ $\Rightarrow H_l=\{h_l\}$, $l=0,\dots,M-1$

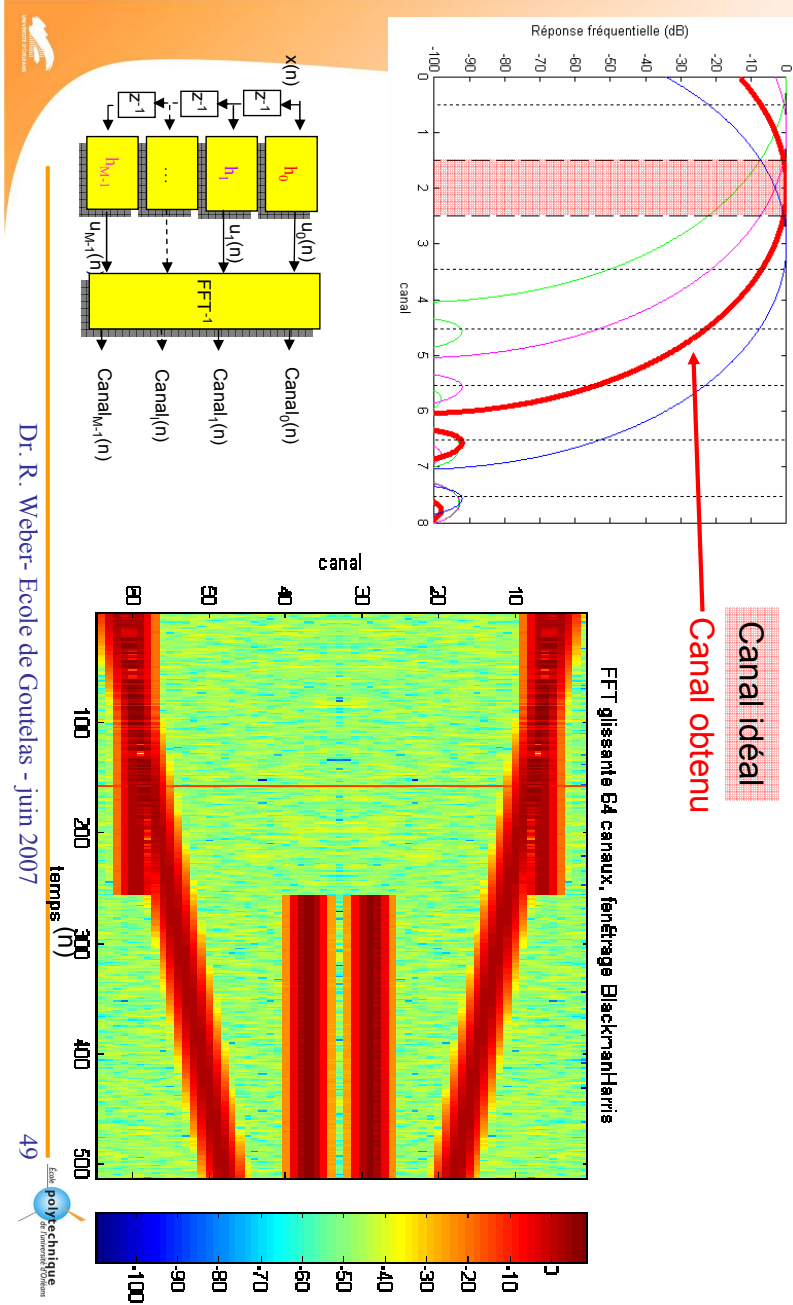
Banc de filtre = FFT fenêtrée par blocs sur M points



FFT glissante 64 canaux, fenêtrage Blackmanharris



Canal idéal
Canal obtenu

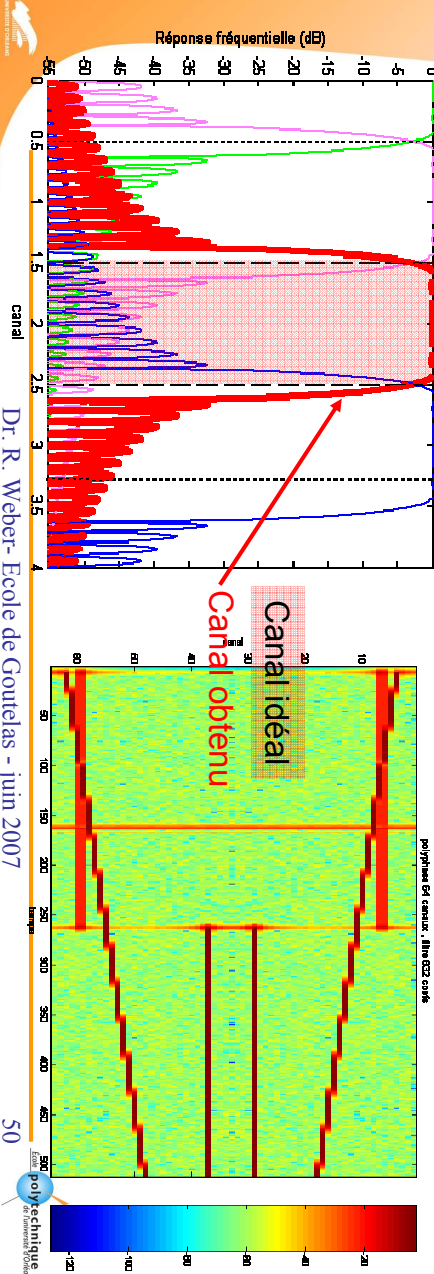
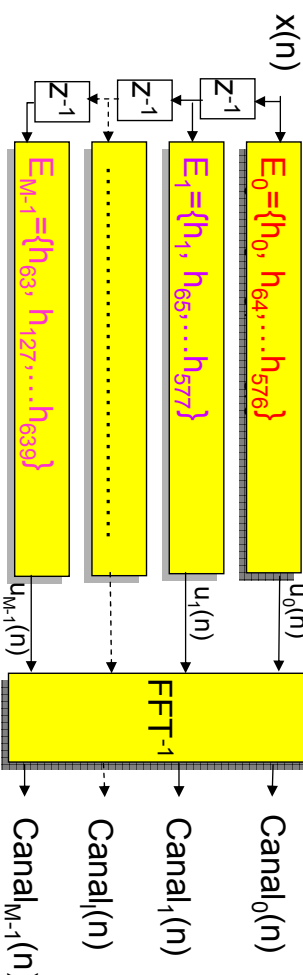


Dr. R. Weber- Ecole de Goutelas - juin 2007

49

Exemple 3

$M=64$, $H=filtre de 640 coefficients$

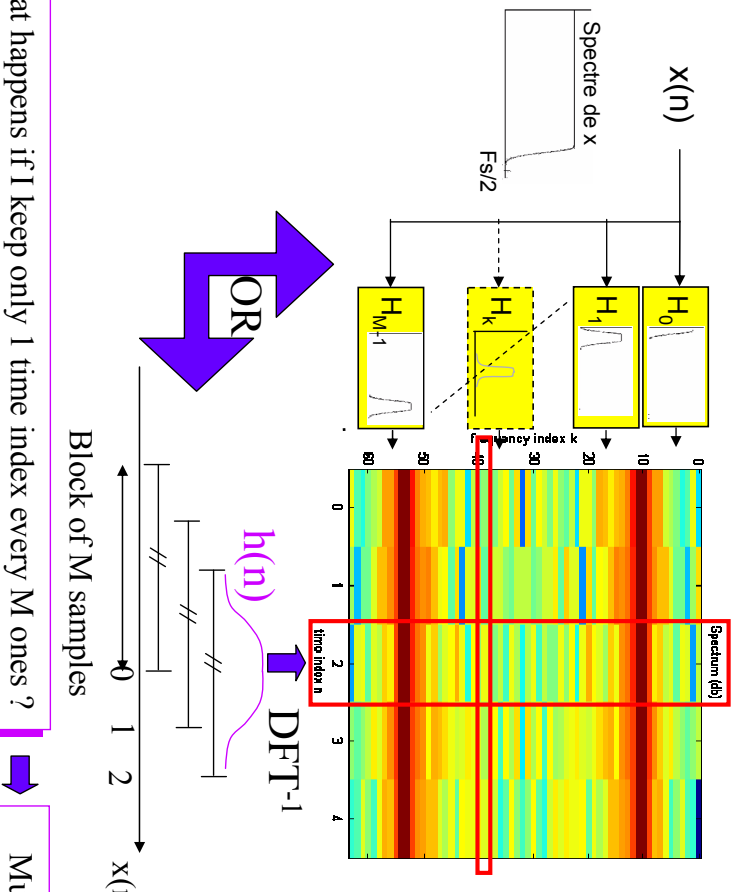


Dr. R. Weber- Ecole de Goutelas - juin 2007

50

Conclusion

- ♦ 2 formulations of the same spectral analysis tool :



What happens if I keep only 1 time index every M ones ?

Dr. R. Weber- Ecole de Goutelas - juin 2007

51

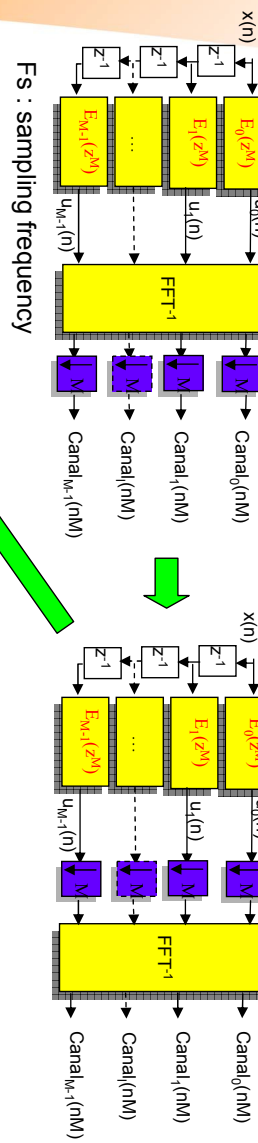
PART B.4: Filtrage multicadence

Mise en œuvre

Décimation par M : $s(n) \rightarrow M \rightarrow s(nM)$



F_S ————— $F_{S/M}$ ————— $F_{S/M}$



F_S : sampling frequency

$$u_0(n) = \sum_{p=0}^{P-1} h_{pM} x((n-p)M)$$

$$u_0(nM) = \sum_{p=0}^{P-1} h_{pM} x((nM-p)M)$$

$$= \sum_{p=0}^{P-1} h_{pM} x((n-p)M)$$

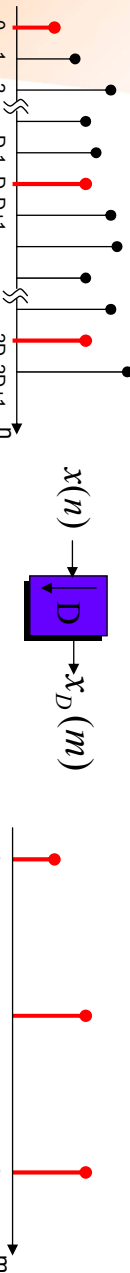
Dr. R. Weber- Ecole de Goutelas - juin 2007

53

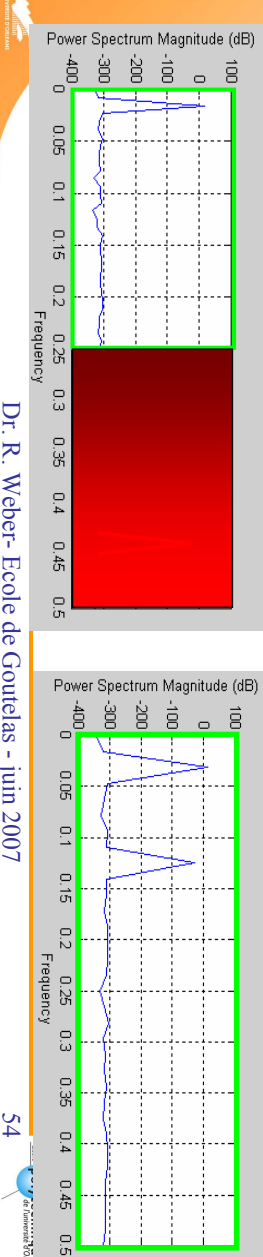
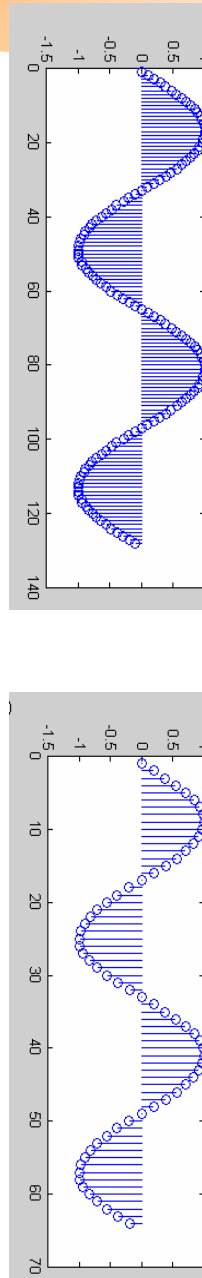
École polytechnique fédérale de Lausanne

Conséquences d'une décIMATION

Aspect temporel



Aspect fréquentiel

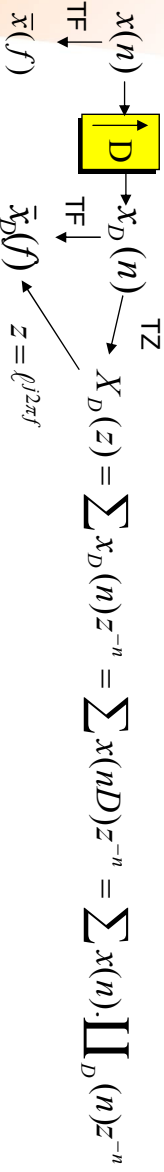


Dr. R. Weber- Ecole de Goutelas - juin 2007

54

École polytechnique fédérale de Lausanne

Vue théorique du déimateur



$$\text{or } \prod_D(n) = \frac{1}{D} \sum_{k=0}^{D-1} e^{j2\pi \frac{k}{D} n}$$

$$X_D(z) = \frac{1}{D} \sum_{k=0}^{D-1} \sum_n x(n) \ell^{j2\pi \frac{k}{D} n} z^{-n} = \frac{1}{D} \sum_{k=0}^{D-1} \sum_n x(n) \left[z \ell^{-j2\pi \frac{k}{D}} \right]^{-n} = \frac{1}{D} \sum_{k=0}^{D-1} X \left(z \ell^{-j2\pi \frac{k}{D}} \right)$$

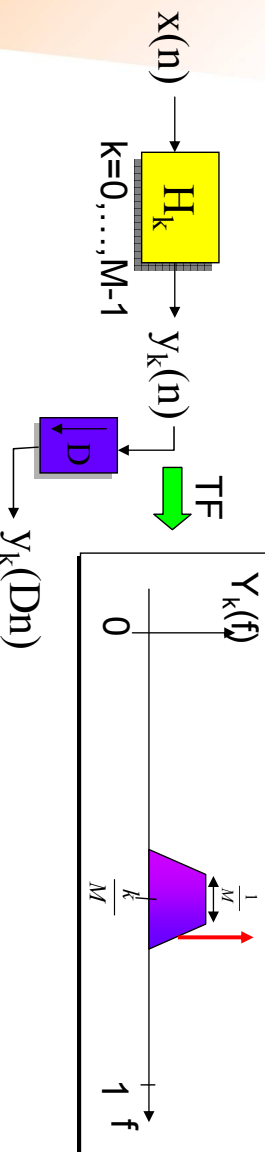
Avec $X = TZ(x)$

D'où

$$\bar{x}_D(f) = \frac{1}{D} \sum_{k=0}^{D-1} X \left(\ell^{j2\pi(f - \frac{k}{D})} \right) = \frac{1}{D} \sum_{k=0}^{D-1} \bar{x}(f - \frac{k}{D})$$

Dr. R. Weber- Ecole de Goutelas - juin 2007

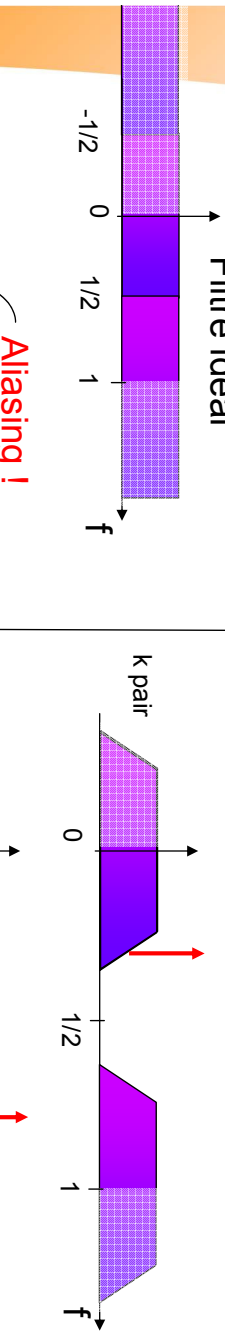
Application au banc de filtres



$D=M$: Décimation critique $TF(y_k(Dn))$

Filtre idéal

$D=M/2$: Overlap 50%



Aliasing !